

Daniel Ribeiro Favoreto

Método das diferenças finitas aplicado a problemas bidimensionais

Vitória, Espírito Santo
2016

Daniel Ribeiro Favoreto

Método das diferenças finitas aplicado a problemas bidimensionais

Relatório apresentado como requisito parcial para a obtenção de aprovação na disciplina Algoritmos Numéricos II, no curso de Ciência da Computação, na Universidade Federal do Espírito Santo.

UFES
Departamento de Informática

Vitória
Espírito Santo
2016

Resumo

O trabalho a seguir analisa a aplicação do método das diferenças finitas em problemas bidimensionais. A variação da forma de armazenamento das estruturas resultantes pela discretização da equação de transporte por diferenças finitas é analisada de forma a observar o impacto no tempo de processamento. O método foi implementado na linguagem de programação C. Experimentos computacionais são conduzidos.

Palavras-chave: Método das diferenças finitas. Problemas bidimensionais. C.

Sumário

| | |
|---|----|
| Sumário | 3 |
| Introdução | 4 |
| Método das diferenças finitas | 5 |
| Implementação. | 7 |
| Experimentos Numéricos | 11 |
| Conclusão. | 14 |
| Referências | 15 |

Introdução

Este trabalho apresenta problemas físicos modelados por equações diferenciais parciais, os quais são resolvidos com o uso do método das diferenças finitas. O objetivo deste trabalho é verificar o impacto no tempo de processamento de acordo com a variação na forma de armazenamento usando aproximações de 1ª e 2ª ordem e utilizando o método SOR para resolução dos sistemas lineares.

Este trabalho é dividido em 4 partes. Na primeira parte, é discutido brevemente as técnicas e ordens de aproximação do método das diferenças finitas. A segunda parte refere-se a parte da implementação do código onde a estrutura e partes significativas comentadas são apresentadas. A terceira parte mostra os experimentos numéricos feitos, e por fim, a quarta parte apresenta as conclusões obtidas dos testes realizados na terceira parte.

Método das diferenças finitas

As aproximações de derivadas por diferenças finitas são uns dos mais simples e antigos métodos de se resolver equações diferenciais. Consistem em aproximar o operador diferencial ao substituir as derivadas na equação pelo coeficiente diferencial. O domínio é particionado no espaço e aproximações da solução são calculadas nos pontos do espaço.

Para a resolução dos problemas bidimensionais, primeiramente discretiza-se o espaço, dividindo-o em n pontos espaçados igualmente no eixo x e m pontos espaçados igualmente no eixo y . Assim, considerando o domínio $= (a, b) \times (c, d)$, os espaçamentos dos pontos do espaço discretizado serão:

$$h_x = \frac{b - a}{n - 1} \quad (1)$$

$$h_y = \frac{d - c}{m - 1} \quad (2)$$

Onde (1) é o espaçamento em x e (2) é o espaçamento em y . Logo, as aproximações das derivadas são dadas pelas seguintes equações:

$$\frac{\partial u}{\partial x} = \frac{u_{i+1,j} - u_{i,j}}{h_x} \quad (3)$$

$$\frac{\partial u}{\partial x} = \frac{u_{i,j} - u_{i-1,j}}{h_x} \quad (4)$$

$$\frac{\partial u}{\partial x} = \frac{u_{i+1,j} - u_{i-1,j}}{2h_x} \quad (5)$$

$$\frac{\partial u}{\partial y} = \frac{u_{i,j+1} - u_{i,j}}{h_y} \quad (6)$$

$$\frac{\partial u}{\partial y} = \frac{u_{i,j} - u_{i,j-1}}{h_y} \quad (7)$$

$$\frac{\partial u}{\partial y} = \frac{u_{i,j+1} - u_{i,j-1}}{2h_y} \quad (8)$$

$$\frac{\partial^2 u}{\partial x^2} = \frac{u_{i-1,j} - 2u_{i,j} + u_{i+1,j}}{h_x^2} \quad (9)$$

$$\frac{\partial^2 u}{\partial y^2} = \frac{u_{i,j-1} - 2u_{i,j} + u_{i,j+1}}{h_y^2} \quad (10)$$

Onde (3), (4) e (5) são, respectivamente, as diferenças finitas adiantada, atrasada e central em x , (6), (7) e (8) são, respectivamente, as diferenças finitas adiantada, atrasada e central em y , sendo (9) e (10)

são, respectivamente, as diferenças finitas centrais de segunda ordem em x e y .

Após substituir as diferenças finitas na equação diferencial parcial, é gerado um sistema linear $Au = f$, onde cada elemento u_i do vetor solução é o valor aproximado da função u em cada ponto do espaço discretizado.

A matriz A é montada com os coeficientes encontrados após a aplicação das diferenças finitas na equação diferencial parcial, tendo como característica principal, no caso bidimensional, ser uma matriz pentadiagonal.

Implementação

O código deste trabalho foi implementado usando a linguagem de programação C. No arquivo main.c contém 3 funções para validação 1, validação 2 e aplicação 1. As 3 funções tem como retorno o vetor solução u e imprimem o tempo t gasto na resolução do sistema $Au = f$. A função main.c também gera um arquivo em formato .m para eventual plotação do gráfico.

Para a aplicação 1, para a derivada primeira da equação, foram usadas aproximações de 2ª ordem (central em x e central em y) e aproximações de 1ª ordem (adiantada em x e atrasada em y) para a montagem da matriz A do sistema.

$$-k \left(\frac{\partial^2 u}{\partial x^2} + \frac{\partial^2 u}{\partial y^2} \right) + \beta_x(x, y) \frac{\partial u}{\partial x} + \beta_y(x, y) \frac{\partial u}{\partial y} + \gamma(x, y)u = f(x, y) \quad \text{em } \Omega \quad (1)$$

Na validação 2, a expressão (1) foi particionada em somas para facilitar a modelagem do problema. Portanto, temos as seguintes equivalências:

$$-k \left(\frac{\partial^2 u}{\partial x^2} + \frac{\partial^2 u}{\partial y^2} \right) = -e^{x^{4.5}} (90. x^{4.5} (y - 1.) y + 247.5 (x - 1.) x^{3.5} (y - 1.) y + 202.5 (x - 1.) x^{0.5} (y - 1.) y + 20 (x - 1) x + 20 (y - 1) y)$$

$$\beta_x(x, y) \frac{\partial u}{\partial x} = -45 e^{x^{4.5}} (-x^{5.5} + x^{4.5} - 0.4444444 x + 0.2222222) (y - 1) y$$

$$\beta_y(x, y) \frac{\partial u}{\partial y} = 20 y 10 e^{x^{4.5}} (x - 1) x (2 y - 1)$$

$$\gamma(x, y)u = 10xy(1 - x)(1 - y)e^{x^{4.5}}$$

$$f(x, y) = 10xy(1 - x)(1 - y)e^{x^{4.5}}$$

Na validação 2, o programa faz o preenchimento dos valores prescritos, caso haja. Por motivos de simplificação, a seguir é mostrado o trecho de preenchimento da linha direita ou limite direita.

```
// linha direita
if (valor_prescrito_na_linha_da_direita) {
    for (i = 1; i < m - 1; i++) {
        index = i*n + (n-1);
        X.v[index] = valorPrescritoDireita;
        b.v[index] = valorPrescritoDireita;
    }
}
```

Os cálculos de a_1, b_1, c_1 foram realizados fora da malha, uma vez que nesse teste o $Betax$ é constante e os cálculos de d_1 e e_1 foram realizados dentro da iteração sobre a malha, já que $Betay = 20*y$.


```
double a1, b1, c1, d1, e1;

// validacao 2
a1 = 1.0 + (2*k * (1.0/(hx*hx) + (1.0/(hy*hy))));
// e1 sendo calculado dentro do for
c1 = (-k/(hx*hx)) - (1.0/(2*hx));
b1 = (-k/(hx*hx)) + (1.0/(2*hx));
d1 = 0.0;
e1 = 0.0;
// d1 sendo calculado dentro do for
```

Foi utilizado um laço de repetição do while() iterando no máximo ITERATIONMAX e enquanto a flag de convergência não for setada indicando que o sistema já convergiu.

Dentro desse laço do while() é feito os tratamentos de contorno da malha especialmente nos cantos superior direito, superior esquerdo, inferior esquerdo e inferior direito. Assim como os 4 limites da malha foram tratados, limite esquerdo, limite direito, limite acima e limite abaixo.

A seguir tem-se o tratamento do canto inferior direito:

```
// canto inferior direito
if (!valor_prescrito_na_linha_da_direita && !valor_prescrito_na_linha_de_baixo) {

    index = n-1;

    e1 = kSobreHyQuadrado;
    d1 = kSobreHyQuadrado;

    // validacao 1 e validacao 2
    novoA1 = a1 + b1 + e1;

    valorAtualizado = (e1*(-derivadaNormalY)*hy) + b1*(derivadaNormalX)*hx;

    X.v[index] = X.v[index] + omega * ((b.v[index] - valorAtualizado) - (c1*X.v[index - 1] + d1*X.v[index + n]))/novoA1
dex));
}
```

O tratamento do limite esquerdo foi realizado da seguinte maneira:

```
for (i = 1; i < m - 1; i++){

    double parcela = (20*(i*hy)/(2*hy));

    d1 = kSobreHyQuadrado + parcela;
    e1 = kSobreHyQuadrado - parcela;

    // linha esquerda
    if (!valor_prescrito_na_linha_da_esquerda){

        index = i*n;

        novoA1 = a1 + c1;
        valorAtualizado = c1*(-derivadaNormalX)*hx;

        X.v[index] = X.v[index] + omega * (((b.v[index] - valorAtualizado) - (e1*X.v[index - n] + b1*X.v[index + 1] + d1*X.v[index + n]))/novoA1 - X.v[index]);

    }
}
```

Já o cálculo da maior diferença e maior valor foram calculados da seguinte maneira:

```
for (i = 0; i < m*n; i++){

    diferencaAtual = fabs(X.v[i] - xAntigo.v[i]);

    if (diferencaAtual > maxDiferenca){

        maxDiferenca = diferencaAtual;

    }

    if (fabs(X.v[i]) > maxValor){

        maxValor = fabs(X.v[i]);

    }

    xAntigo.v[i] = X.v[i];

}
```

Em seguida o cálculo do erro aproximado:

```
erro = maxDiferenca/maxValor;  
  
if (erro > alpha)  
    nao_convergir = 1;  
else  
    nao_convergir = 0;  
  
maxDiferenca = -1;  
maxValor = -1;
```

E por final tanto as funções de validação 1 e validação 2 quanto da aplicação 1 retornam o vetor solução.

Experimentos Numéricos

Experimentos numéricos foram conduzidos com o uso da tabela fornecida nas especificações deste trabalho. Para cada discretização, foi calculado o tempo necessário para a resolução do sistema gerado. A tabela 1 mostra as instâncias de teste escolhidas para a realização dos experimentos.

A seguir tem-se a tabela de testes para a validação 2, utilizando-se m e n variados para cada tamanho do sistema linear. No seguinte teste foi utilizado os seguintes valores de $\text{ALPHA} = 0.00001$, $\text{OMEGA} = 1.6$, $K = 1.0$, $\text{NÚMERO DE ITERAÇÕES MÁXIMAS} = 10000$ e $\text{VALORES PRESCRITOS} = 0$.

| n | m | Ordem do sistema linear | Tempo (s) | Iterações |
|------|------|-------------------------|-------------|-----------|
| 50 | 50 | 2500 | 0.057320 | 313 |
| 25 | 100 | 2500 | 0.067824 | 603 |
| 250 | 40 | 10000 | 0.279137 | 3008 |
| 100 | 100 | 10000 | 0.315509 | 1102 |
| 1000 | 500 | 500000 | 137.954501 | 10000 |
| 1000 | 1000 | 1000000 | 365.347596 | 10000 |
| 2500 | 4000 | 10000000 | 6900.132692 | 10000 |

Tabela 1

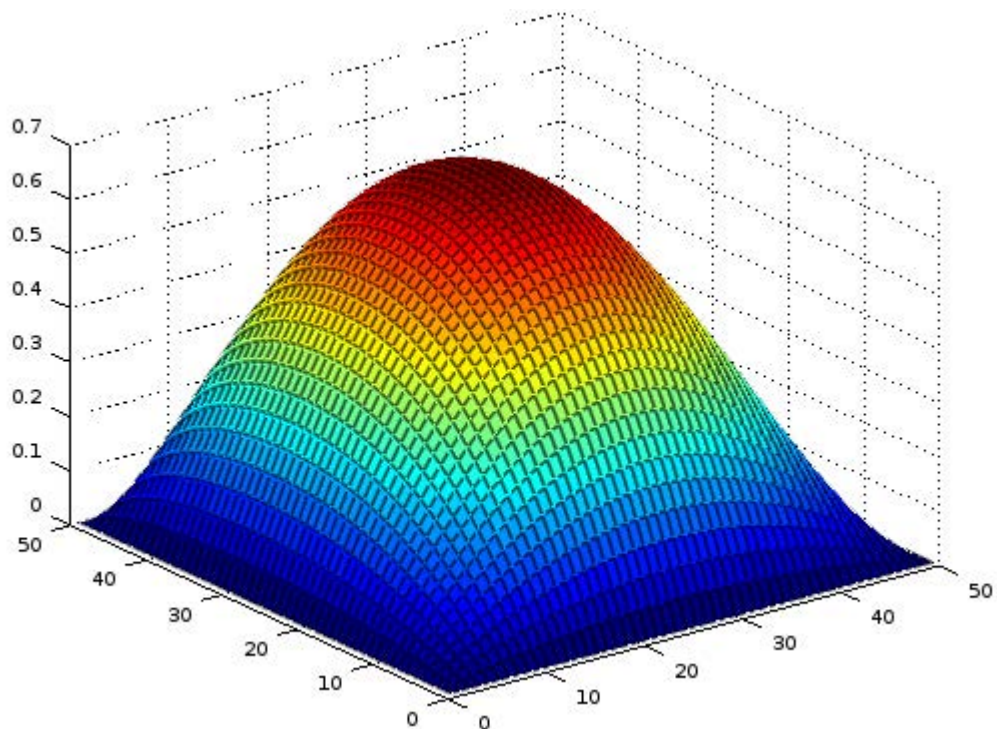


Gráfico para o resultado na validação 2 tamanho: 50x50

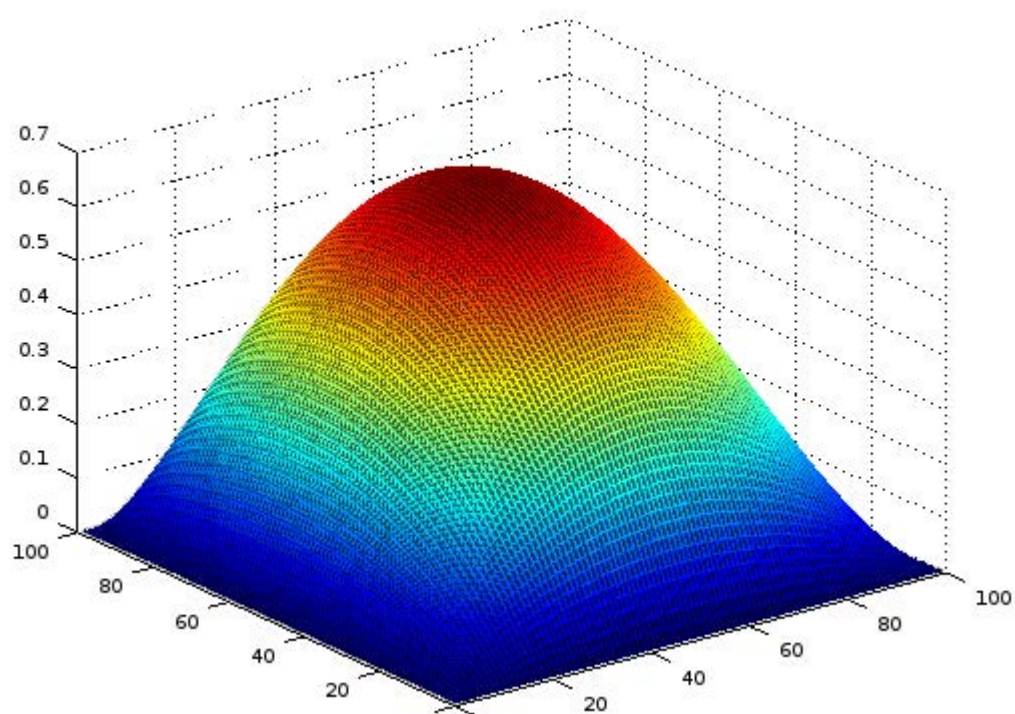


Gráfico para validação 2 tamanho: 100x100

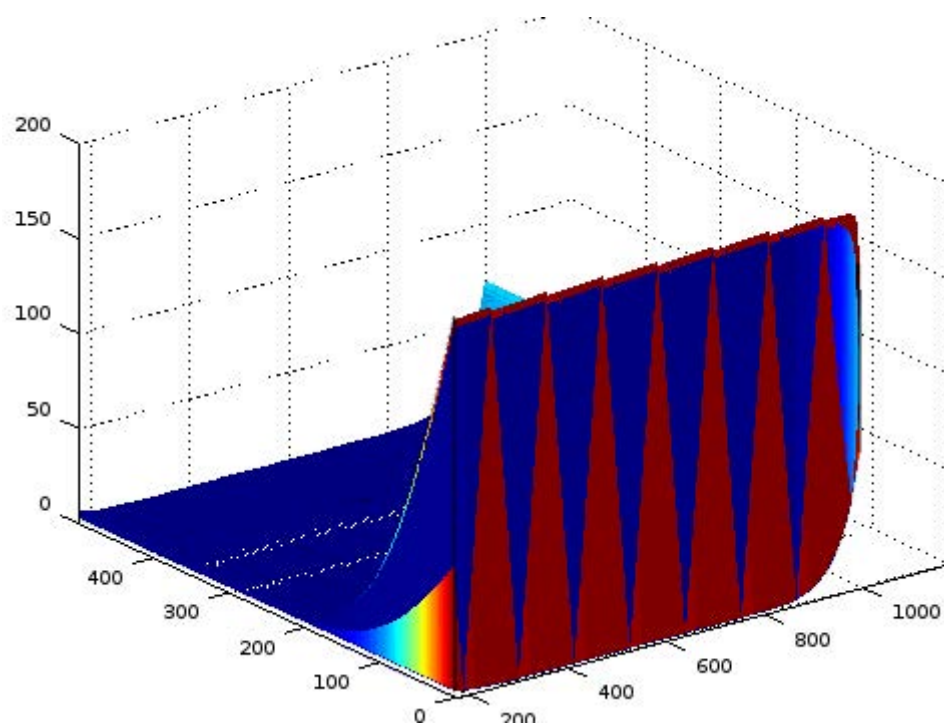


Gráfico para aplicação 1 tamanho: 1000x500

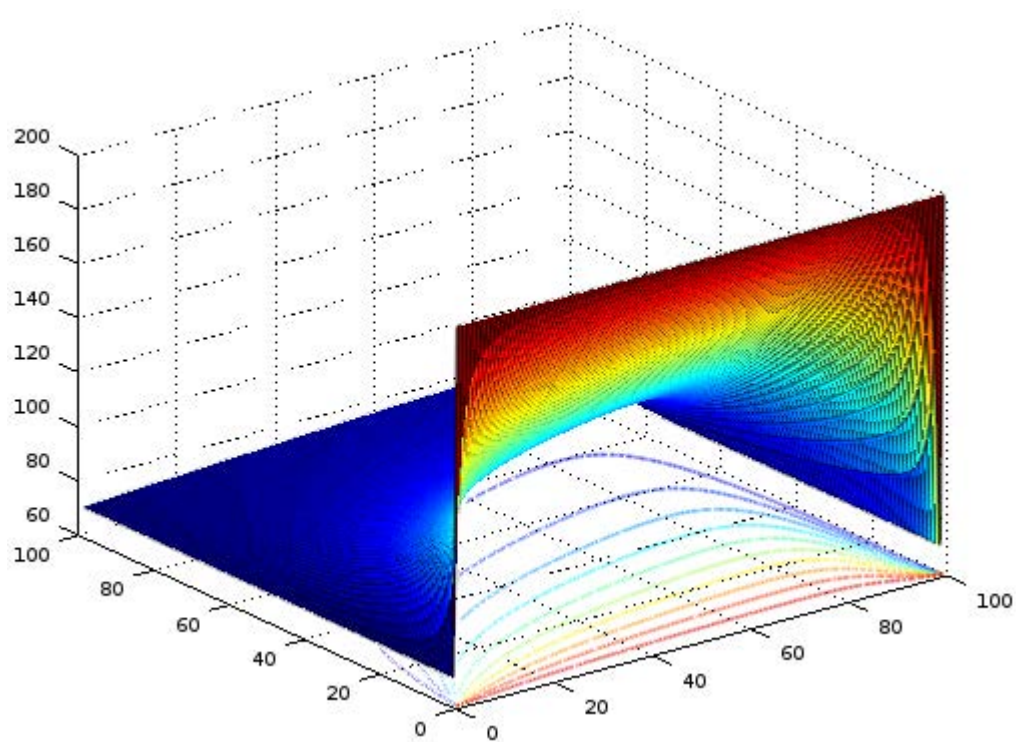


Gráfico para aplicação 1 tamanho: 100x100

Conclusão

Pouco se pode concluir a partir do que foi feito, uma vez que não houve tempo hábil para realizar todas as aplicações de forma satisfatória assim como os testes computacionais.

Porém, observou-se que a forma de armazenamento das matrizes impactava principalmente no tempo de execução dos problemas de validação e da aplicação 1.

O aluno também pôde observar que alguns gráficos, apesar de não terem sido publicados no relatório, apresentaram diferenças quando compara-se instâncias menores com instâncias maiores, devido ao espaçamento h_x e h_y serem maiores quando se tem tamanhos menores de entrada, gerando instabilidade no sistema. Conforme maiores os subintervalos m e n , os valores de h_x e h_y diminuem tornando o sistema mais estável.

Obviamente quanto maior fosse a quantidade de iterações máxima, melhor o sistema convergia embora o desempenho sofresse um grande impacto.

Em cada teste foi utilizado uma máquina Core i5, 2.5Ghz e 4Gb RAM em um sistema operacional Ubuntu 16.04.

Referências

CAUSON, D. M., MINGHAM C. G., *Introductory Finite Difference Methods for PDEs*, 2010. Disponível em: <http://www.leka.lt/sites/default/files/dokumentai/introductory-finite-difference-methods-for-pdes.pdf>. Acesso em 18.04.2016.

EBERLY, D. *Derivative Approximations by Finite Differences*, 2001. Disponível em: <http://www.geometrictools.com/Documentation/FiniteDifferences.pdf>. Acesso em 18.04.2016.